

Fig. 1

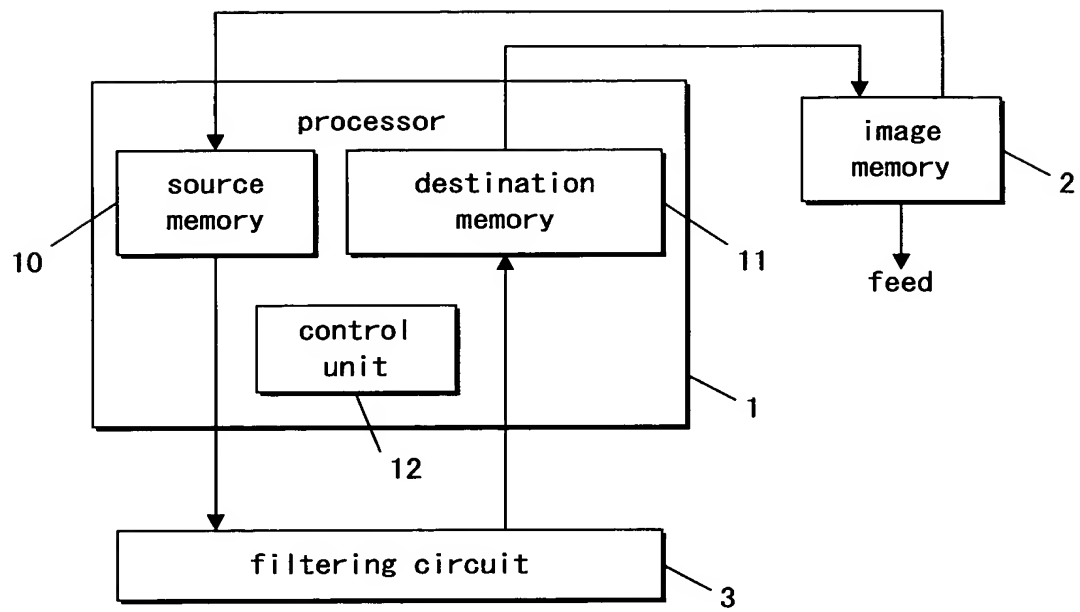
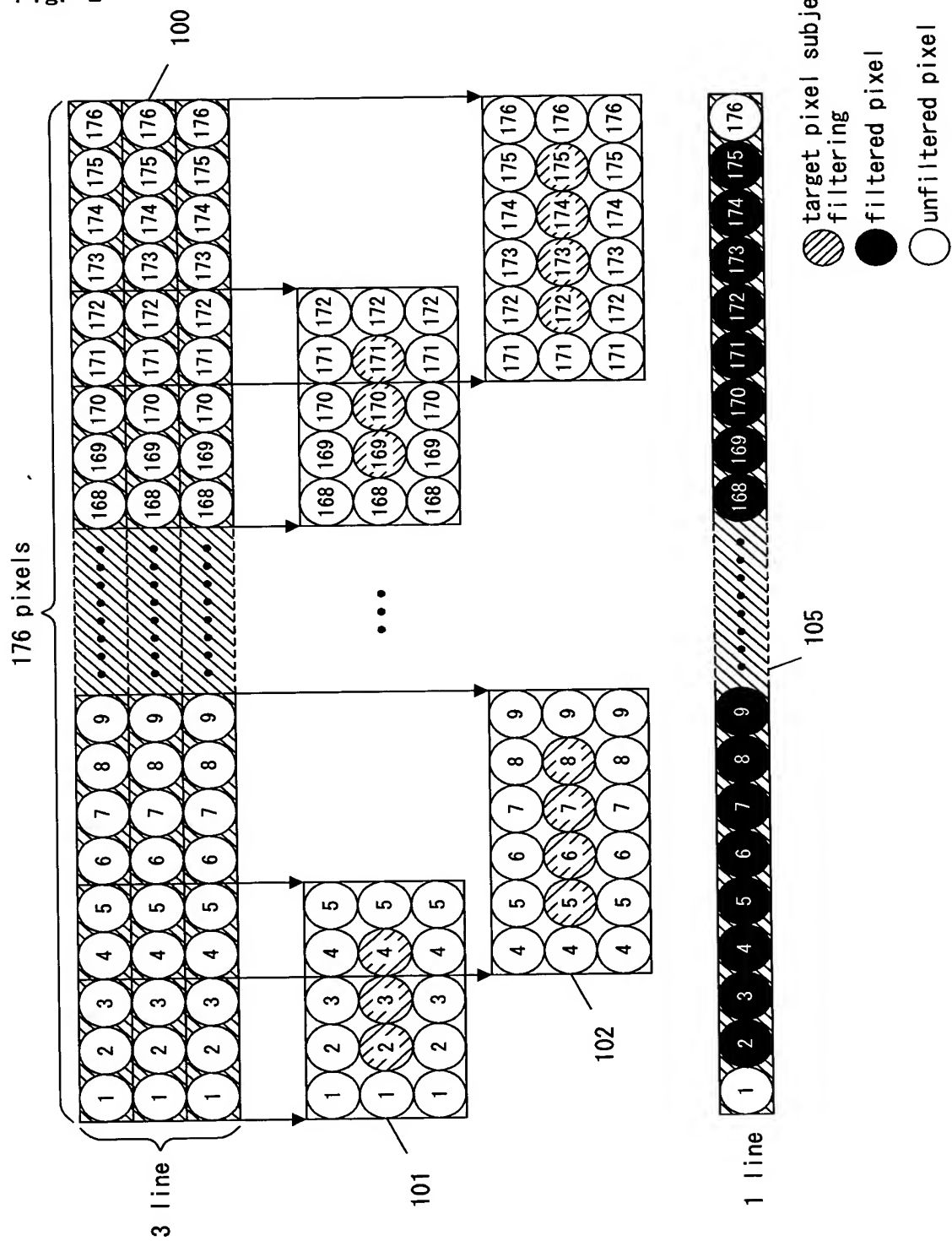


Fig. 2



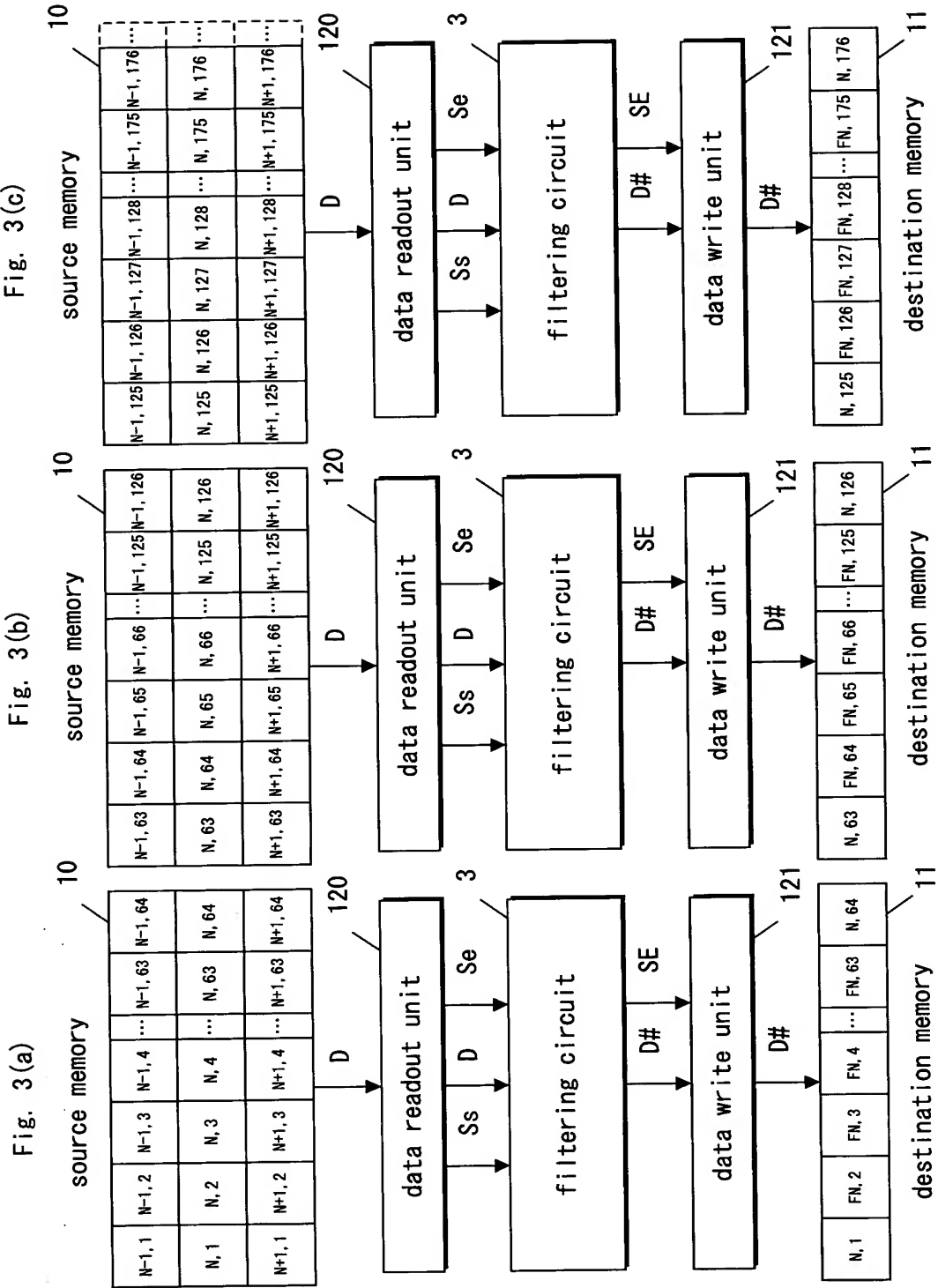
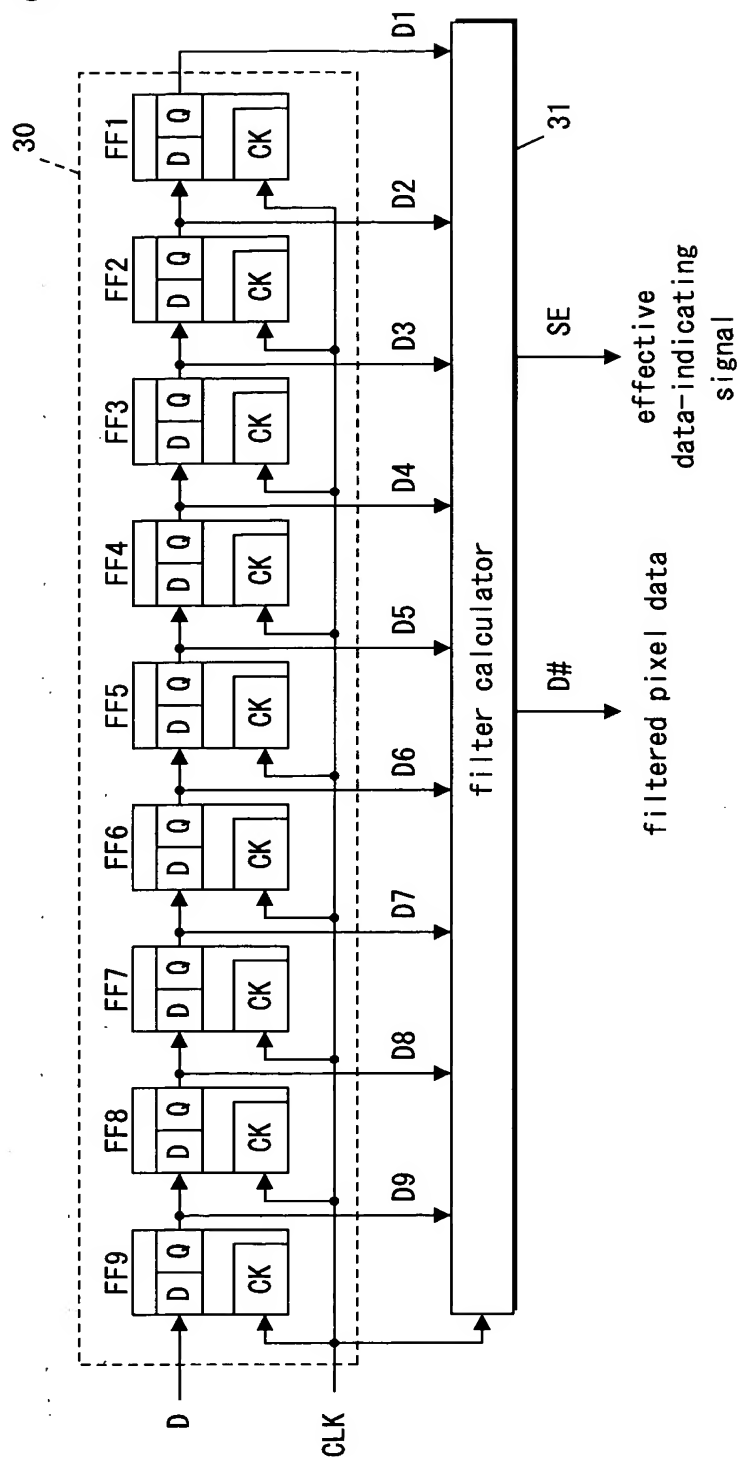
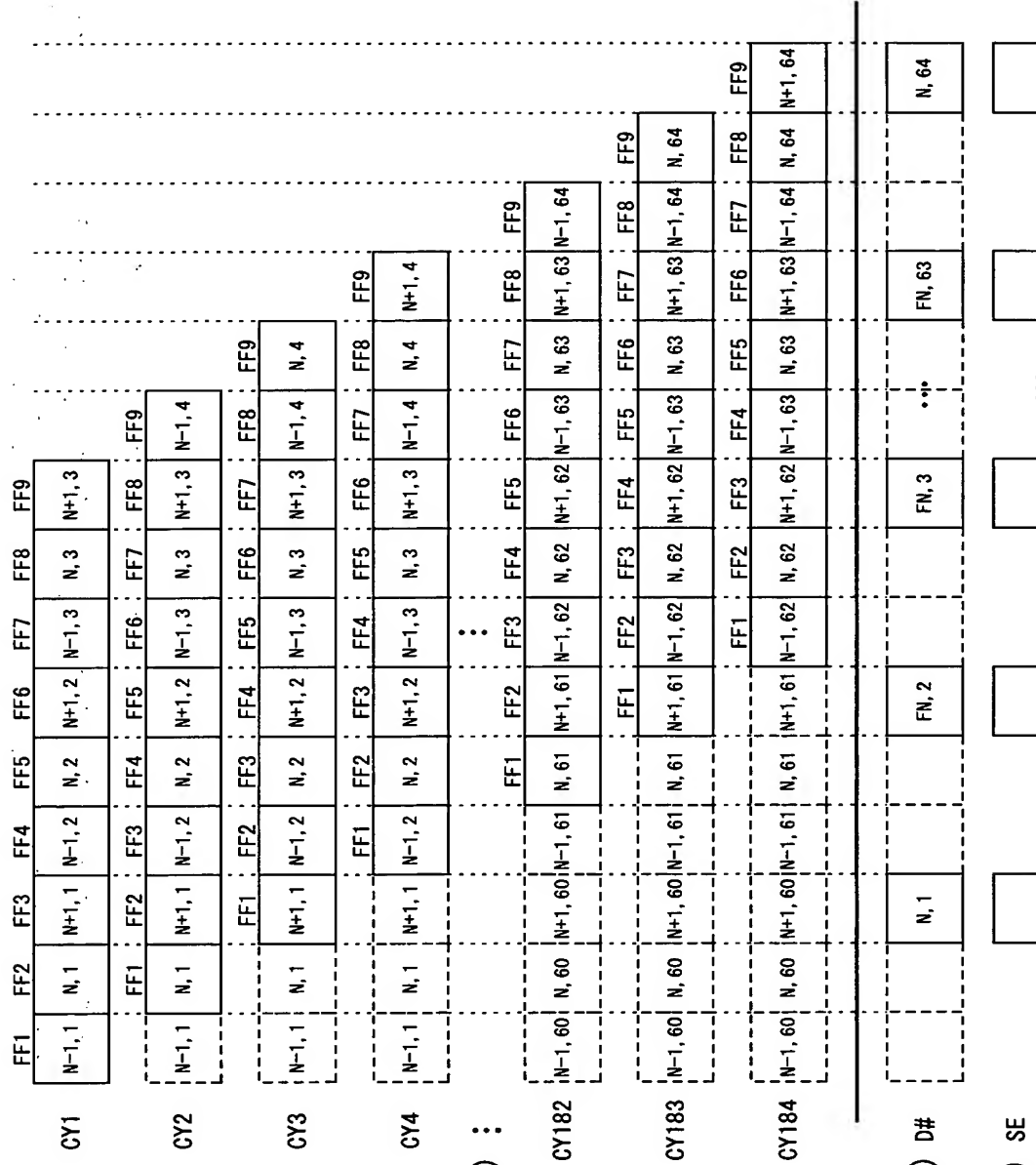


Fig. 4





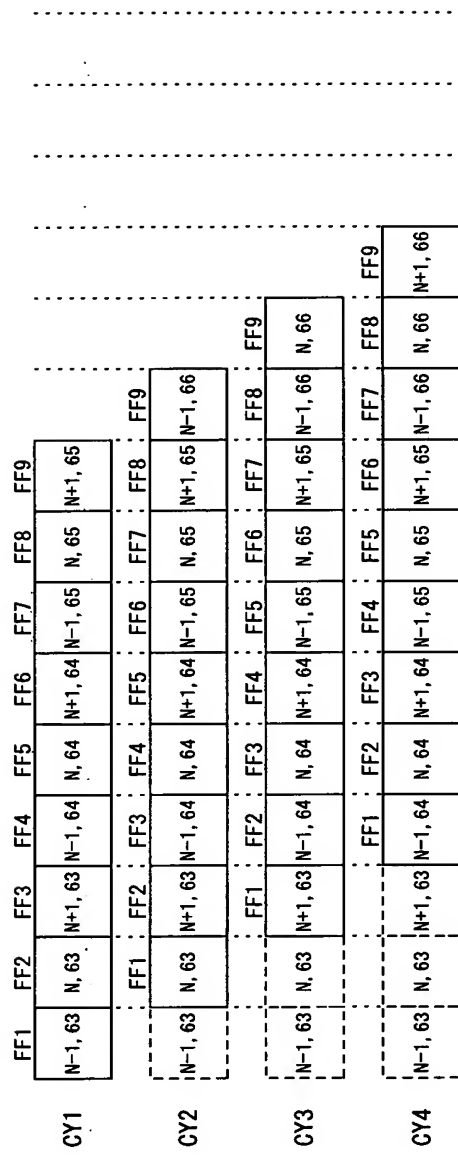


Fig. 6(a) :

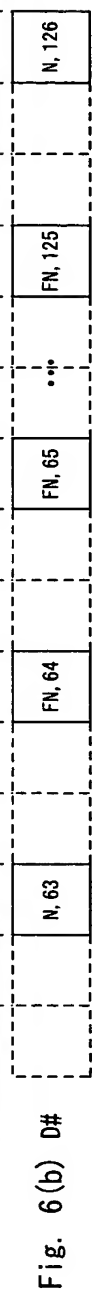
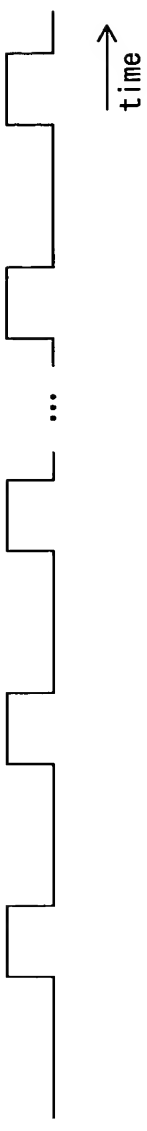


Fig. 6(c) SE



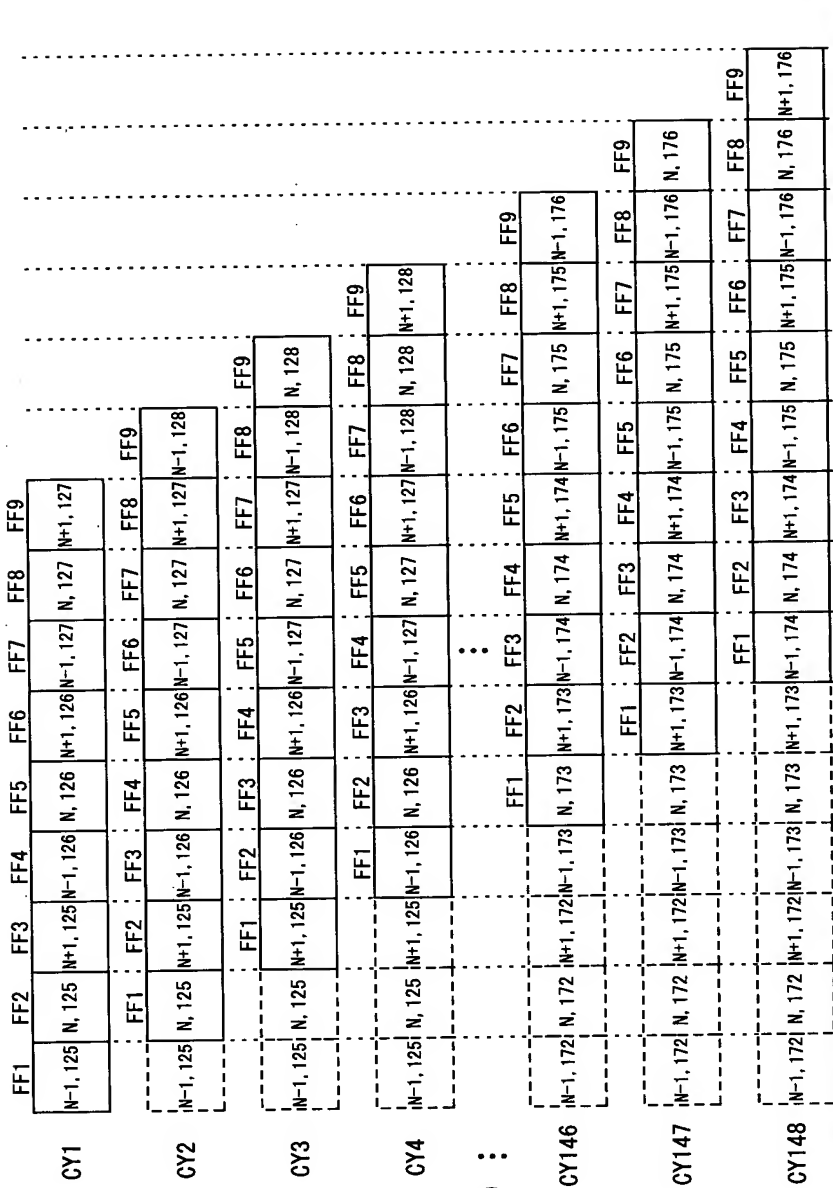


Fig. 7(b) D#

Fig. 7(c) SE

time →

Fig. 8(a)

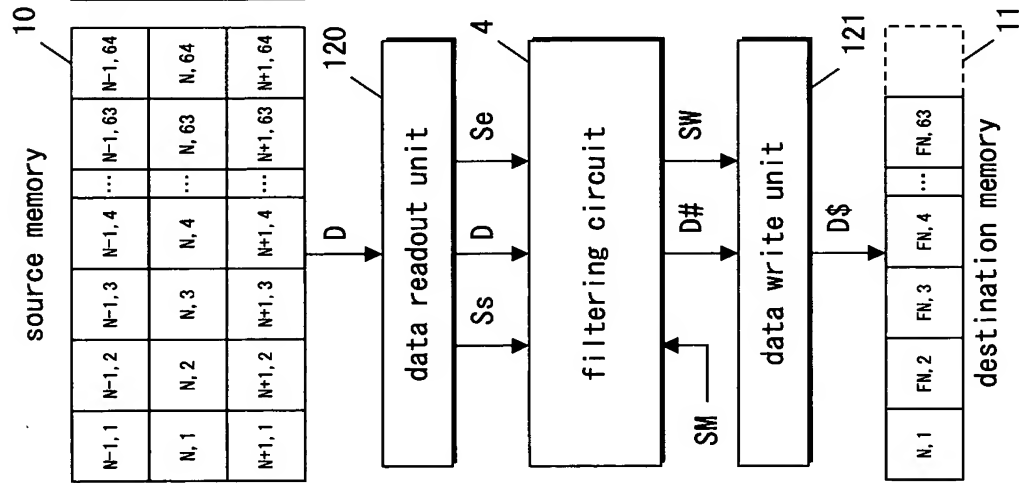


Fig. 8(b)

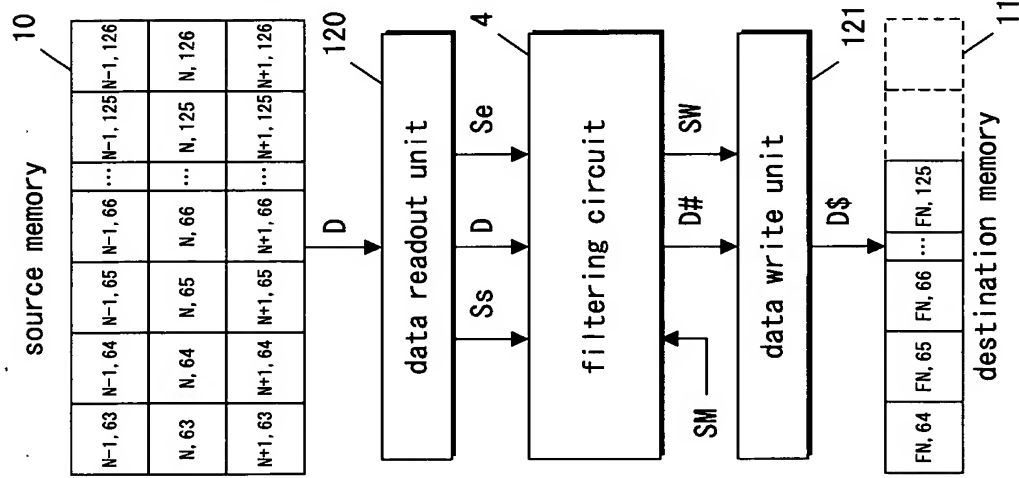


Fig. 8(c)

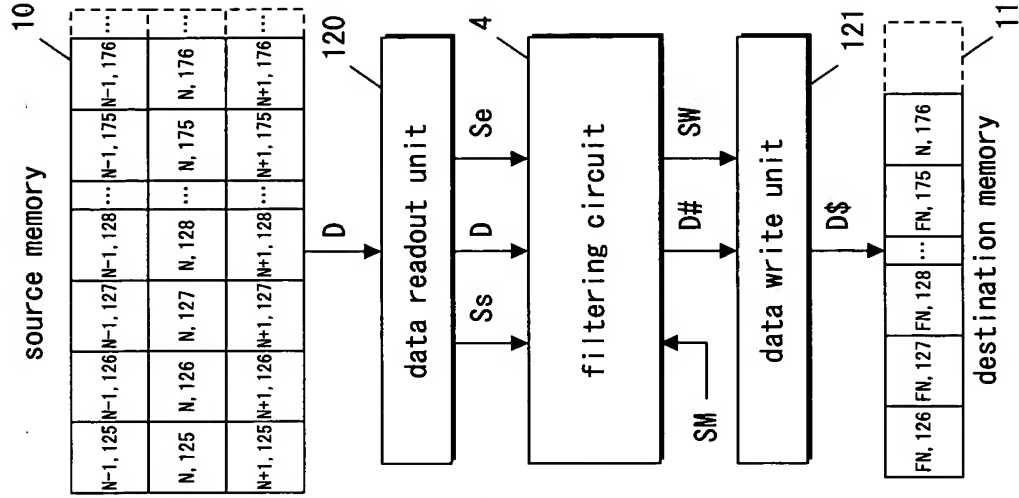
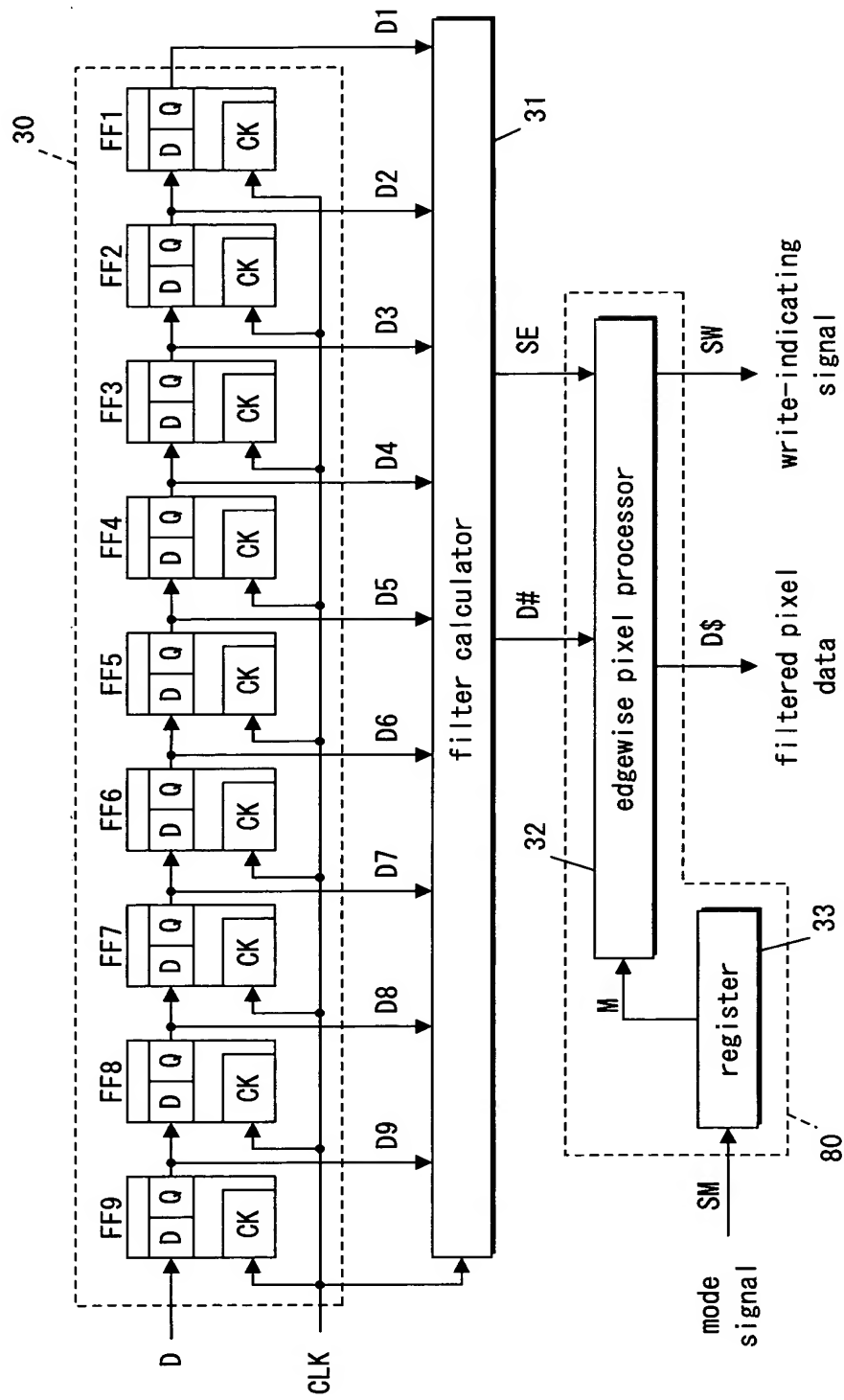




Fig. 9



|     | FF1    | FF2  | FF3    | FF4    | FF5  | FF6    | FF7    | FF8  | FF9    |
|-----|--------|------|--------|--------|------|--------|--------|------|--------|
| CY1 | N-1, 1 | N, 1 | N+1, 1 | N-1, 2 | N, 2 | N+1, 2 | N-1, 3 | N, 3 | N+1, 3 |
| CY2 | N-1, 1 | N, 1 | N+1, 1 | N-1, 2 | N, 2 | N+1, 2 | N-1, 3 | N, 3 | N+1, 3 |
| CY3 | N-1, 1 | N, 1 | N+1, 1 | N-1, 2 | N, 2 | N+1, 2 | N-1, 3 | N, 3 | N+1, 3 |
| CY4 | N-1, 1 | N, 1 | N+1, 1 | N-1, 2 | N, 2 | N+1, 2 | N-1, 3 | N, 3 | N+1, 3 |

Fig. 10(a) :

|       |         |       |         |         |       |         |         |       |         |         |       |         |         |       |         |
|-------|---------|-------|---------|---------|-------|---------|---------|-------|---------|---------|-------|---------|---------|-------|---------|
| CY182 | N-1, 60 | N, 60 | N+1, 60 | N-1, 61 | N, 61 | N+1, 61 | N-1, 62 | N, 62 | N+1, 62 | N-1, 63 | N, 63 | N+1, 63 | N-1, 64 | N, 64 | N+1, 64 |
| CY183 | N-1, 60 | N, 60 | N+1, 60 | N-1, 61 | N, 61 | N+1, 61 | N-1, 62 | N, 62 | N+1, 62 | N-1, 63 | N, 63 | N+1, 63 | N-1, 64 | N, 64 | N+1, 64 |
| CY184 | N-1, 60 | N, 60 | N+1, 60 | N-1, 61 | N, 61 | N+1, 61 | N-1, 62 | N, 62 | N+1, 62 | N-1, 63 | N, 63 | N+1, 63 | N-1, 64 | N, 64 | N+1, 64 |

Fig. 10(b) D#

Fig. 10(c) SE

Fig. 10(d) D\$

Fig. 10(e) SW

time →



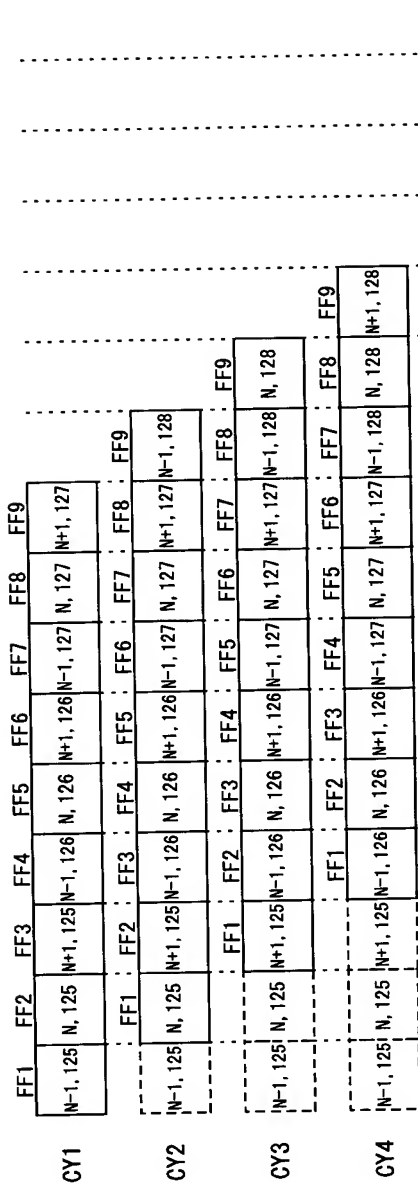


Fig. 12(a) :

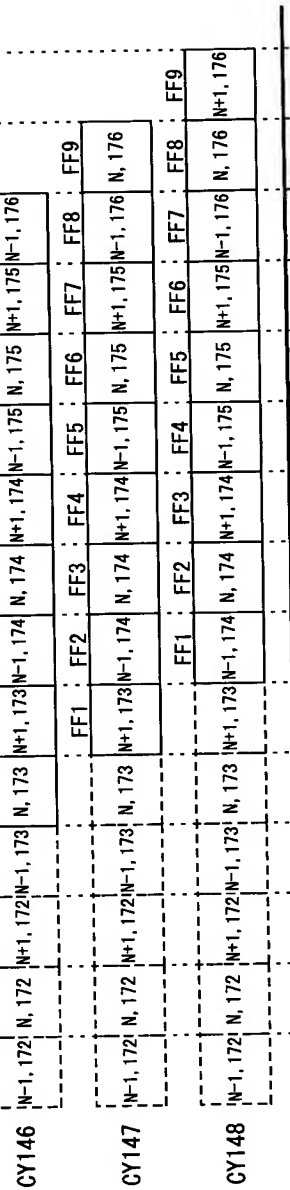
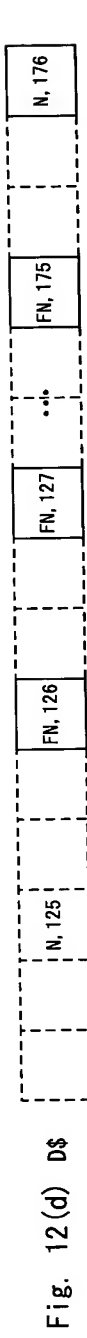
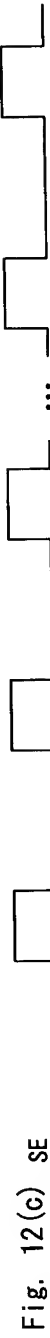


Fig. 12(b) D\$



time →

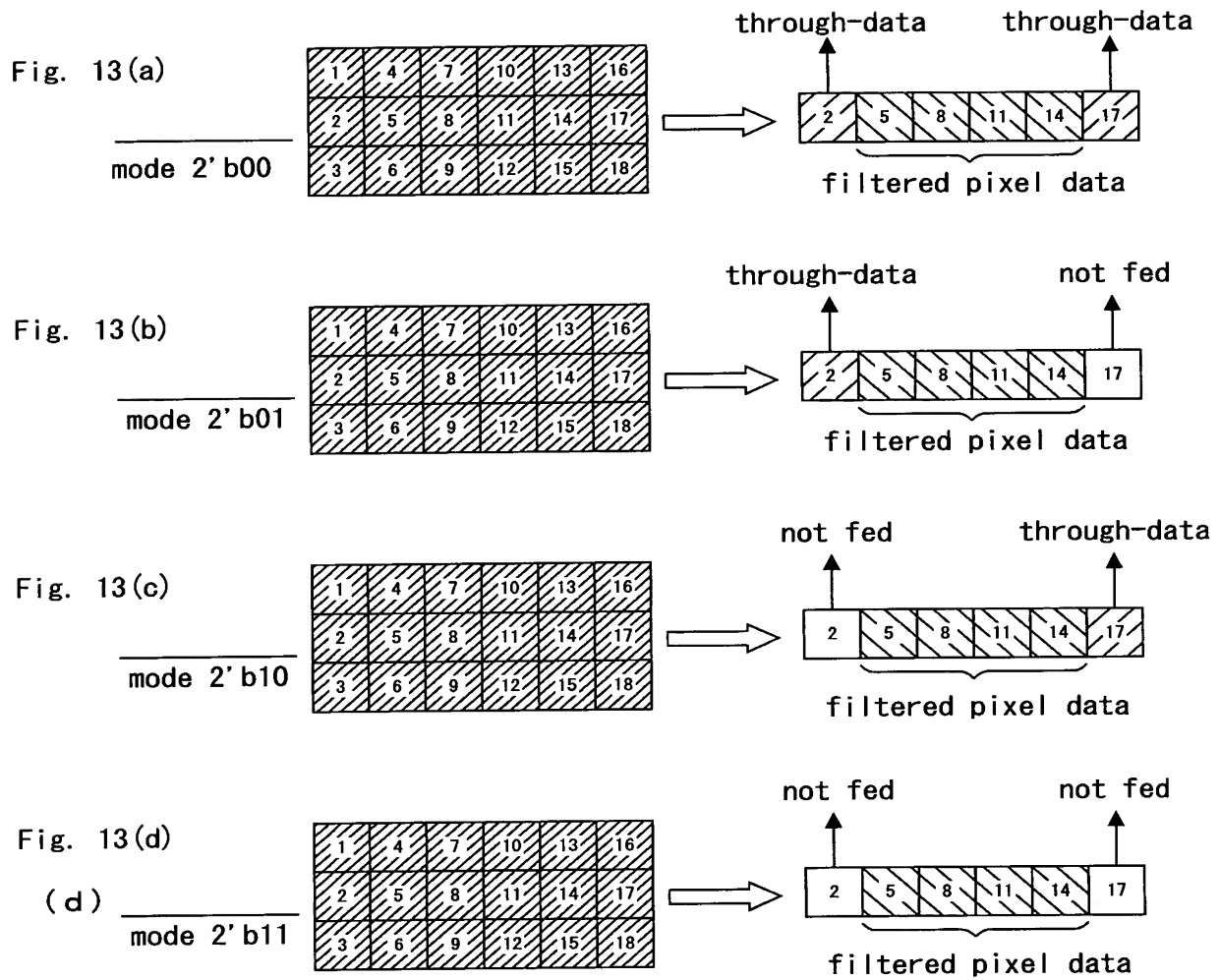


Fig. 14(a)

(a)

mode 2' b01

|   |   |   |    |    |    |
|---|---|---|----|----|----|
| 1 | 4 | 7 | 10 | 13 | 16 |
| 2 | 5 | 8 | 11 | 14 | 17 |
| 3 | 6 | 9 | 12 | 15 | 18 |

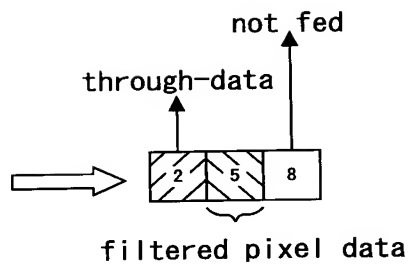


Fig. 14(b)

(b)

mode 2' b11

|   |   |   |    |    |    |
|---|---|---|----|----|----|
| 1 | 4 | 7 | 10 | 13 | 16 |
| 2 | 5 | 8 | 11 | 14 | 17 |
| 3 | 6 | 9 | 12 | 15 | 18 |

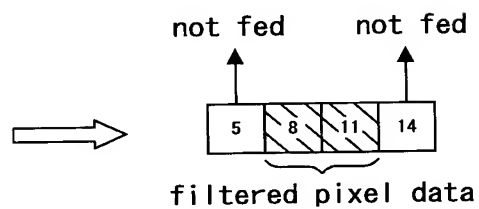


Fig. 14(c)

(c)

mode 2' b10

|   |   |   |    |    |    |
|---|---|---|----|----|----|
| 1 | 4 | 7 | 10 | 13 | 16 |
| 2 | 5 | 8 | 11 | 14 | 17 |
| 3 | 6 | 9 | 12 | 15 | 18 |

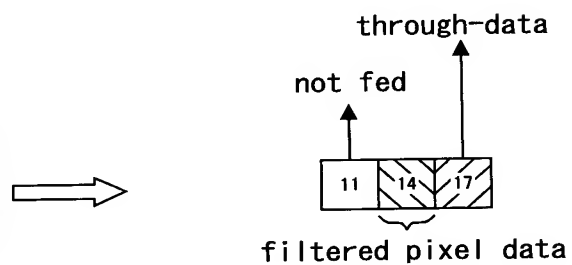


Fig. 15

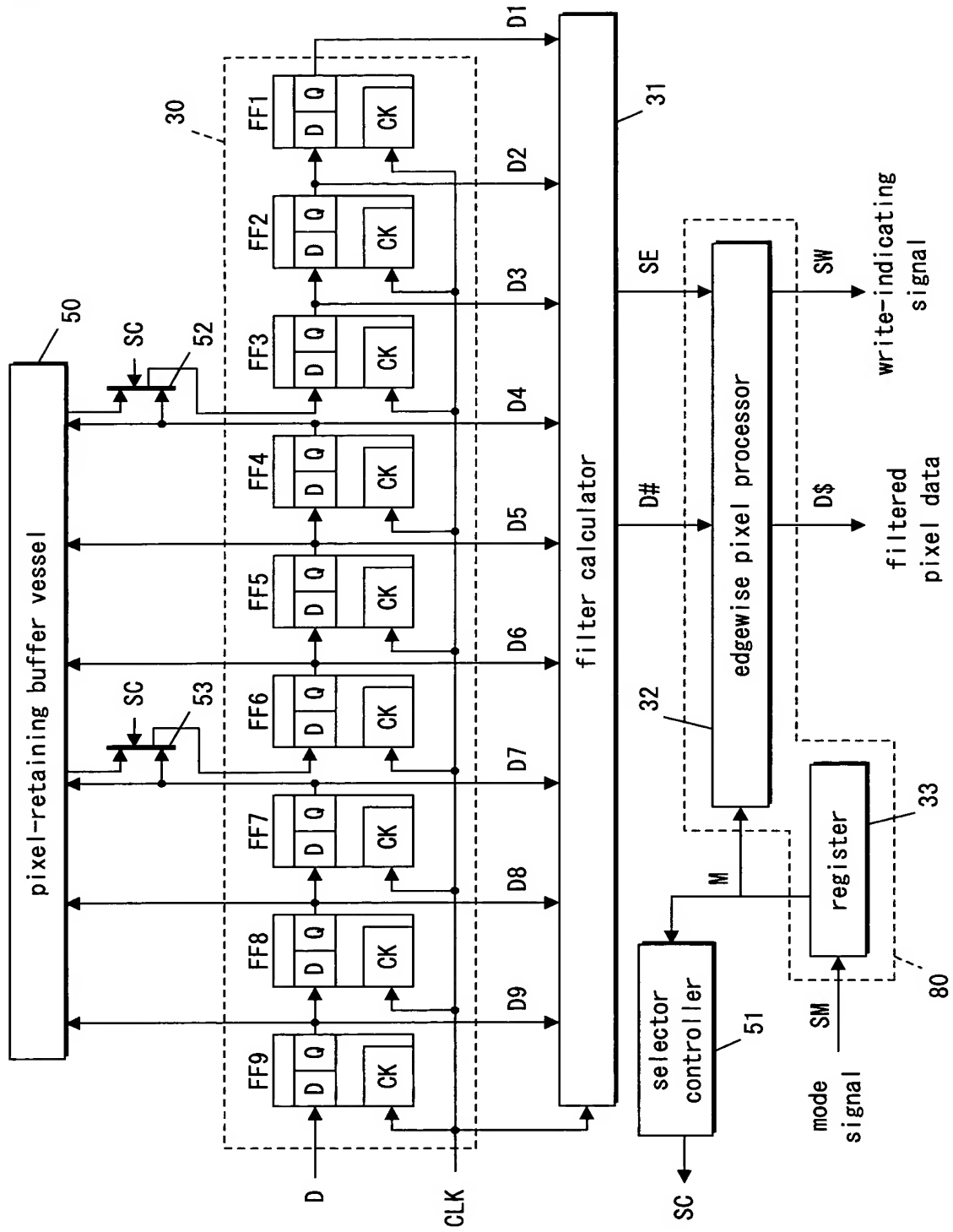


Fig. 16

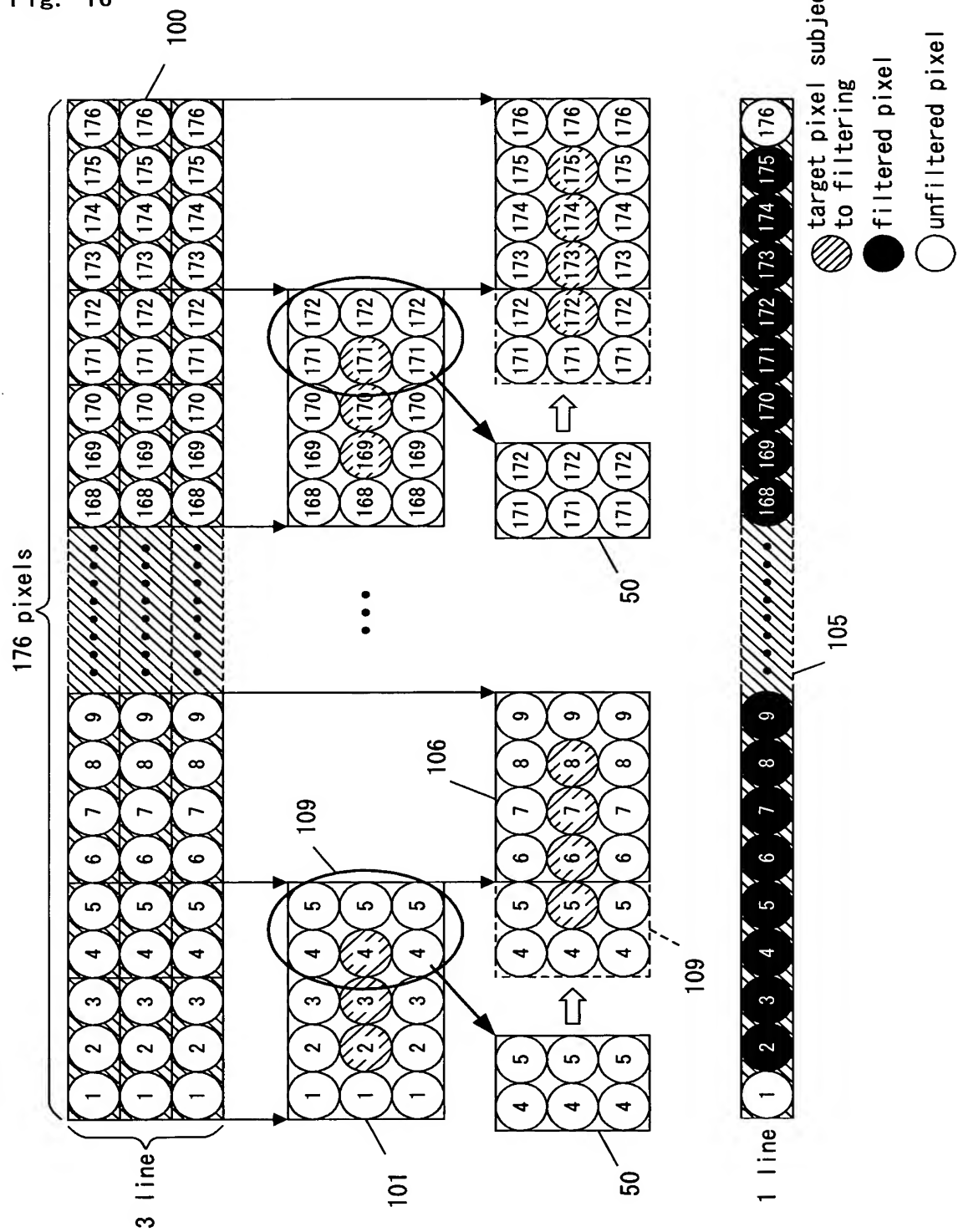




Fig. 17(a)

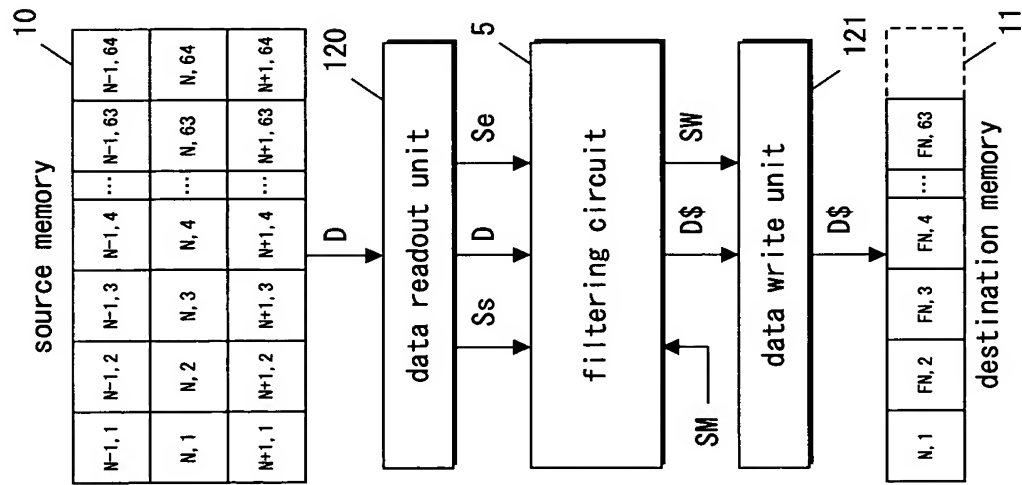


Fig. 17(b)

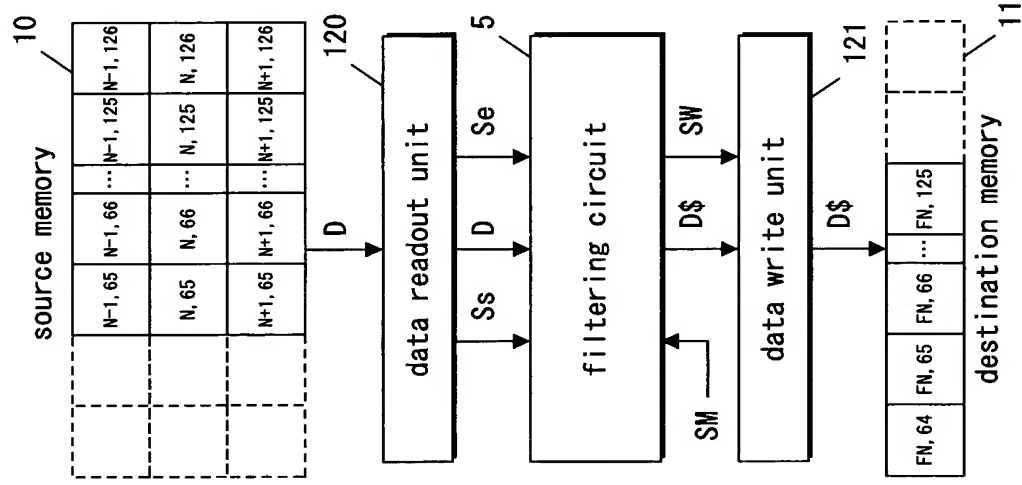
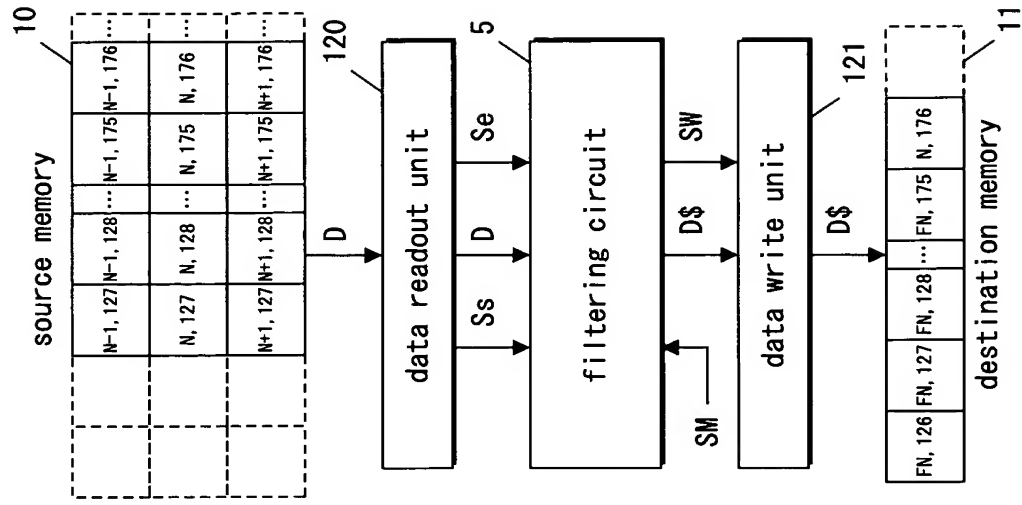


Fig. 17(c)



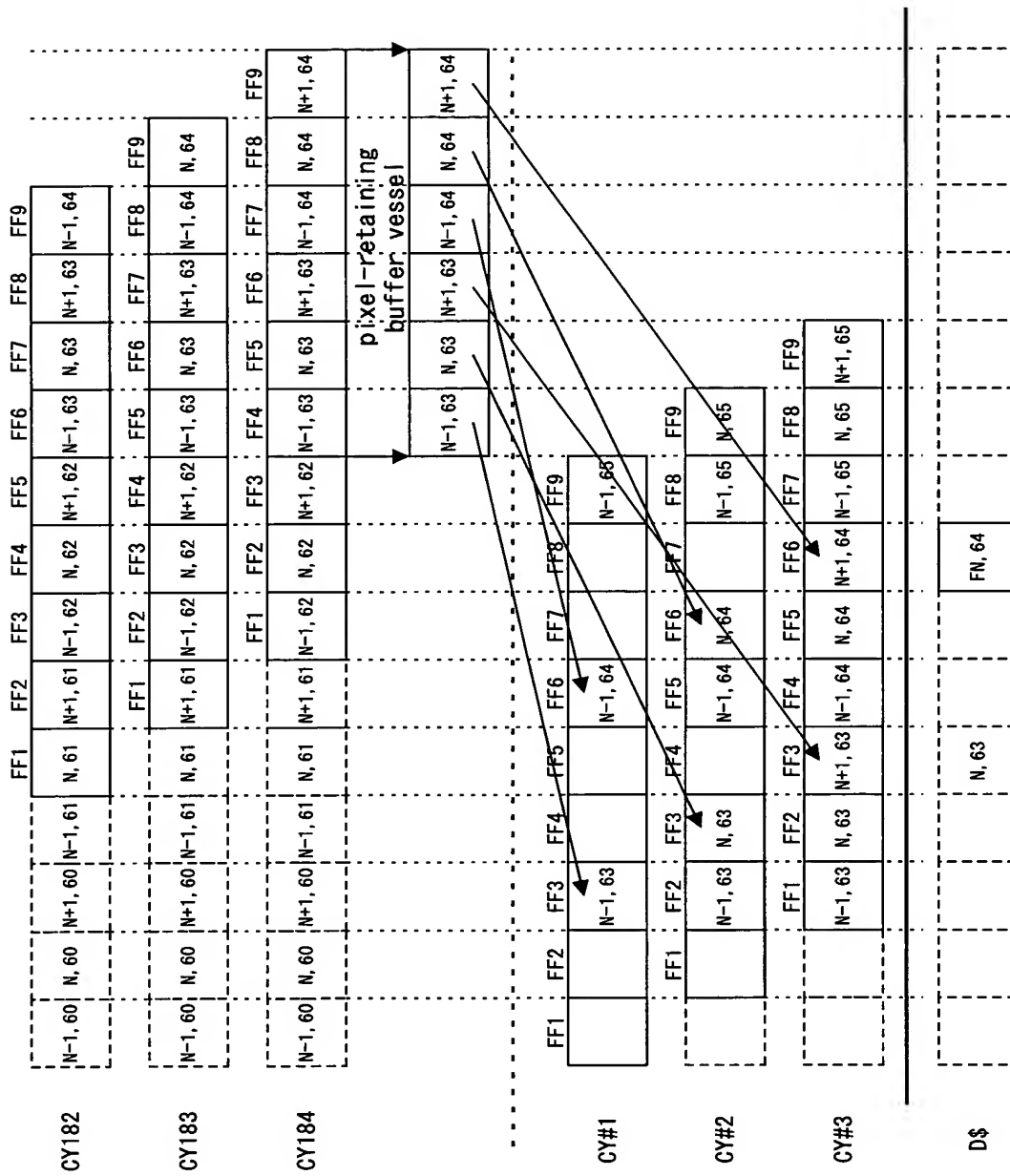


Fig. 18(a)

Fig. 18(b)

Fig. 18(c)

Fig. 19

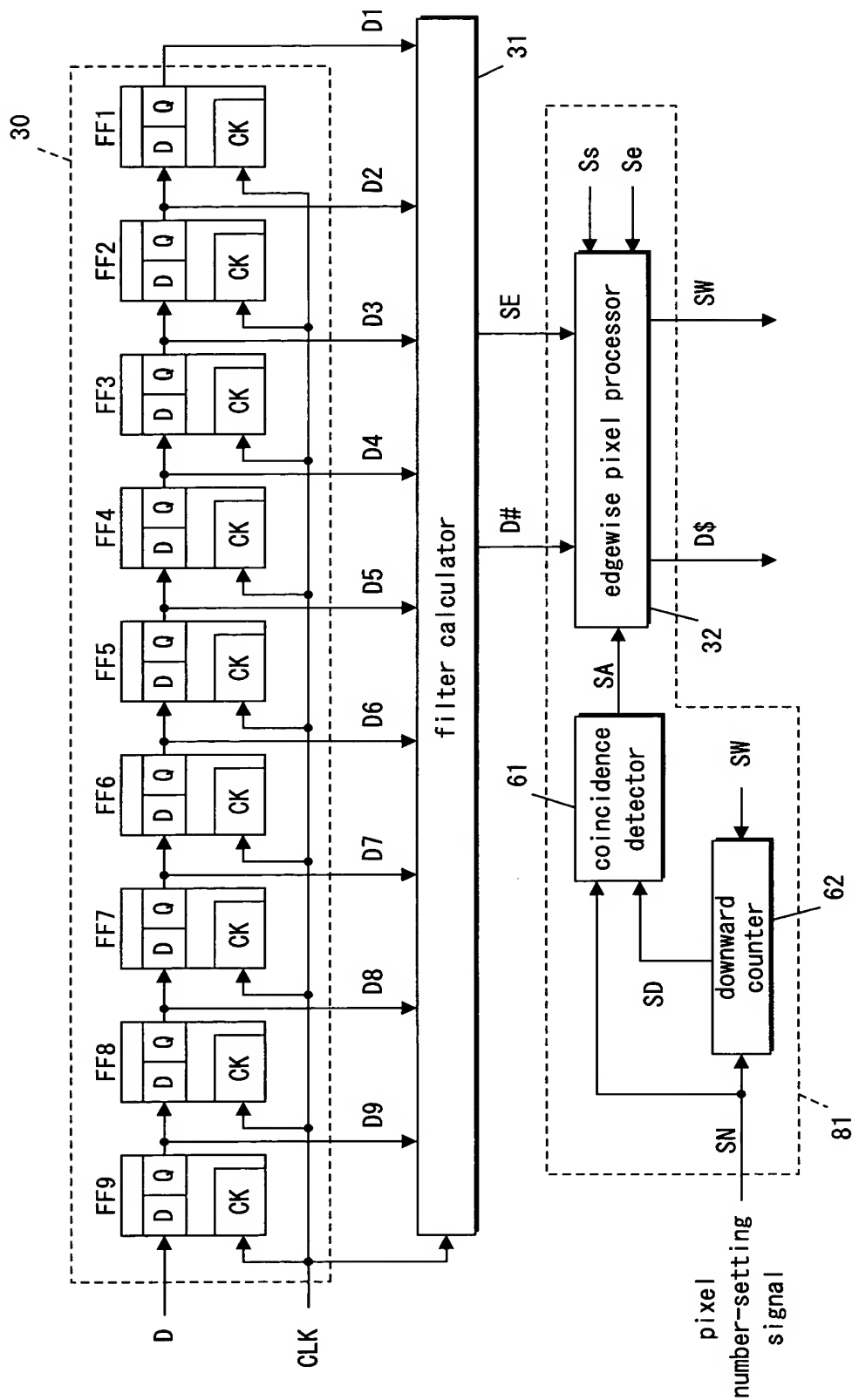


Fig. 20

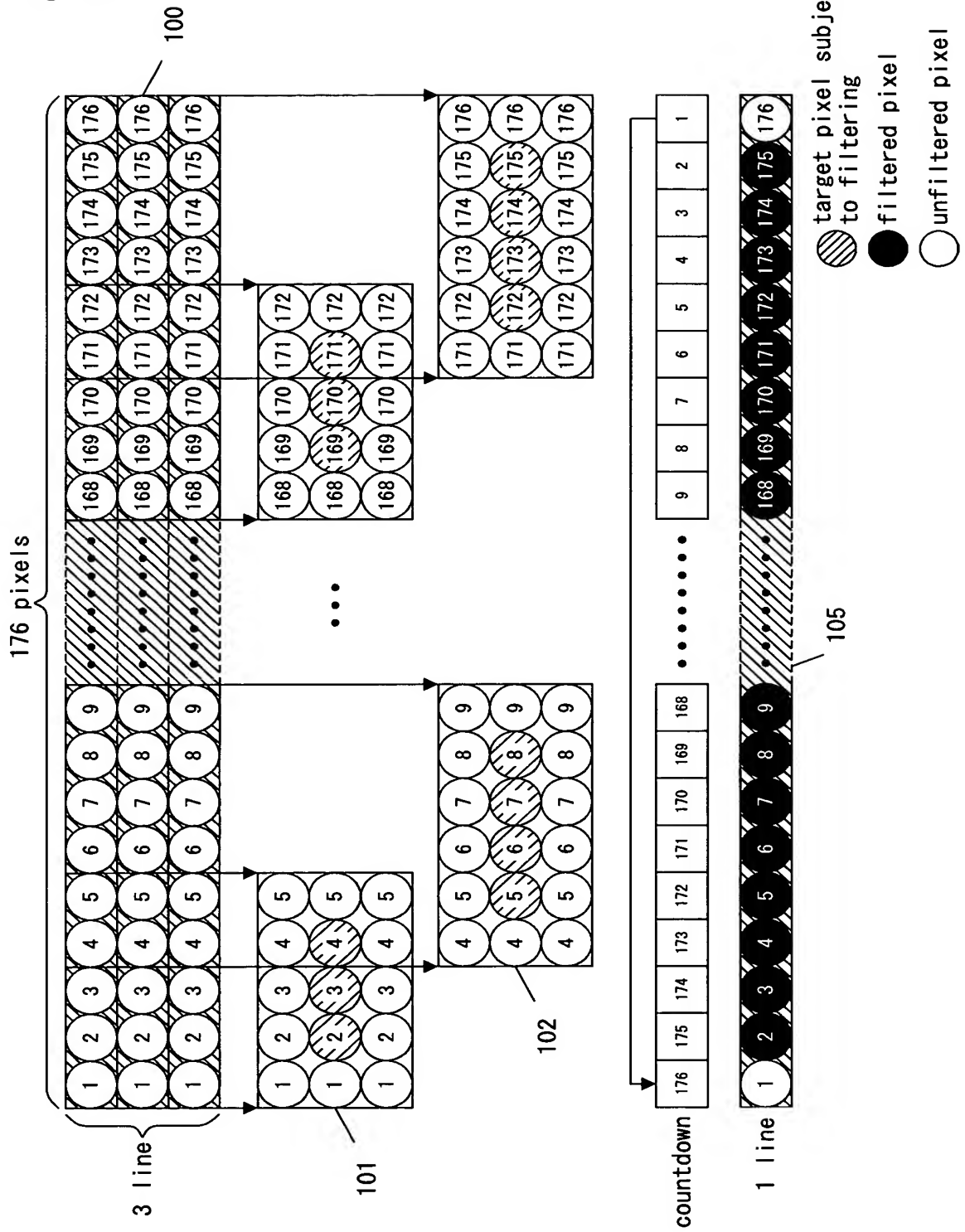


Fig. 21(a)

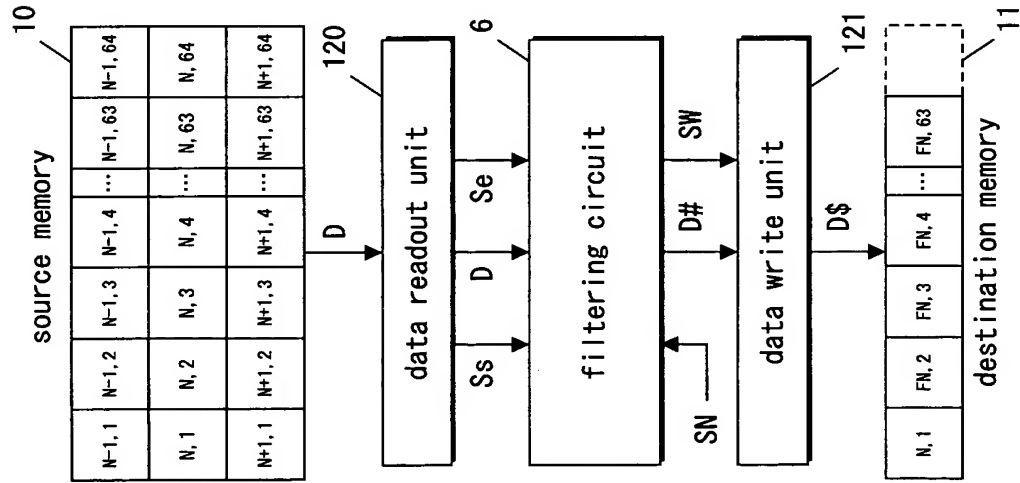


Fig. 21(b)

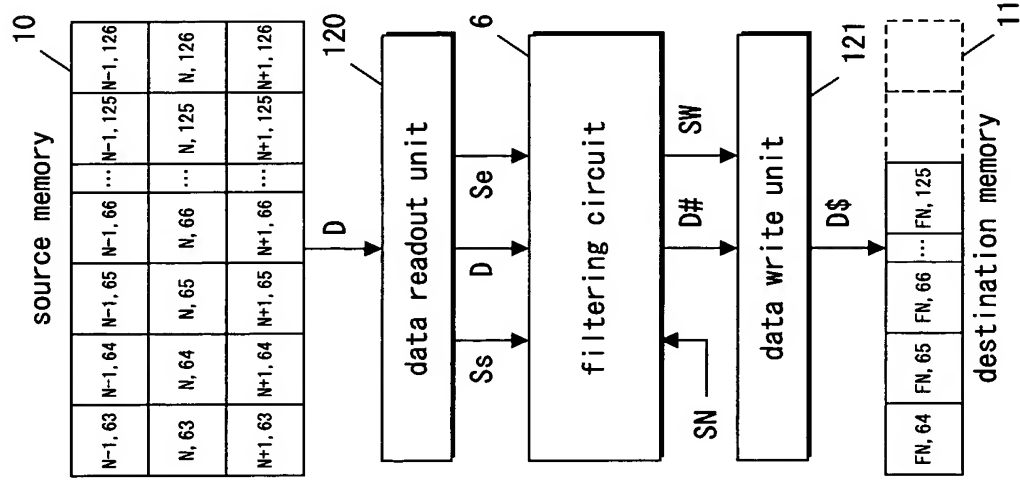
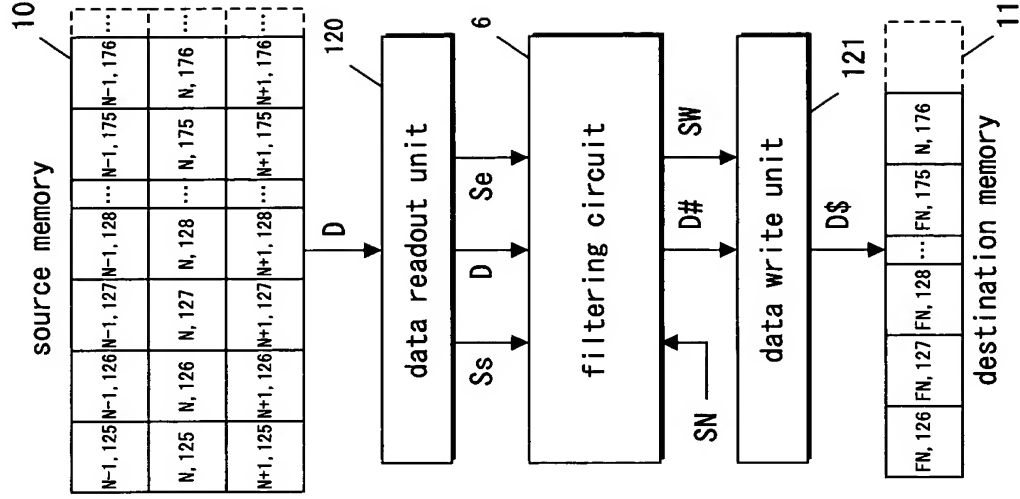
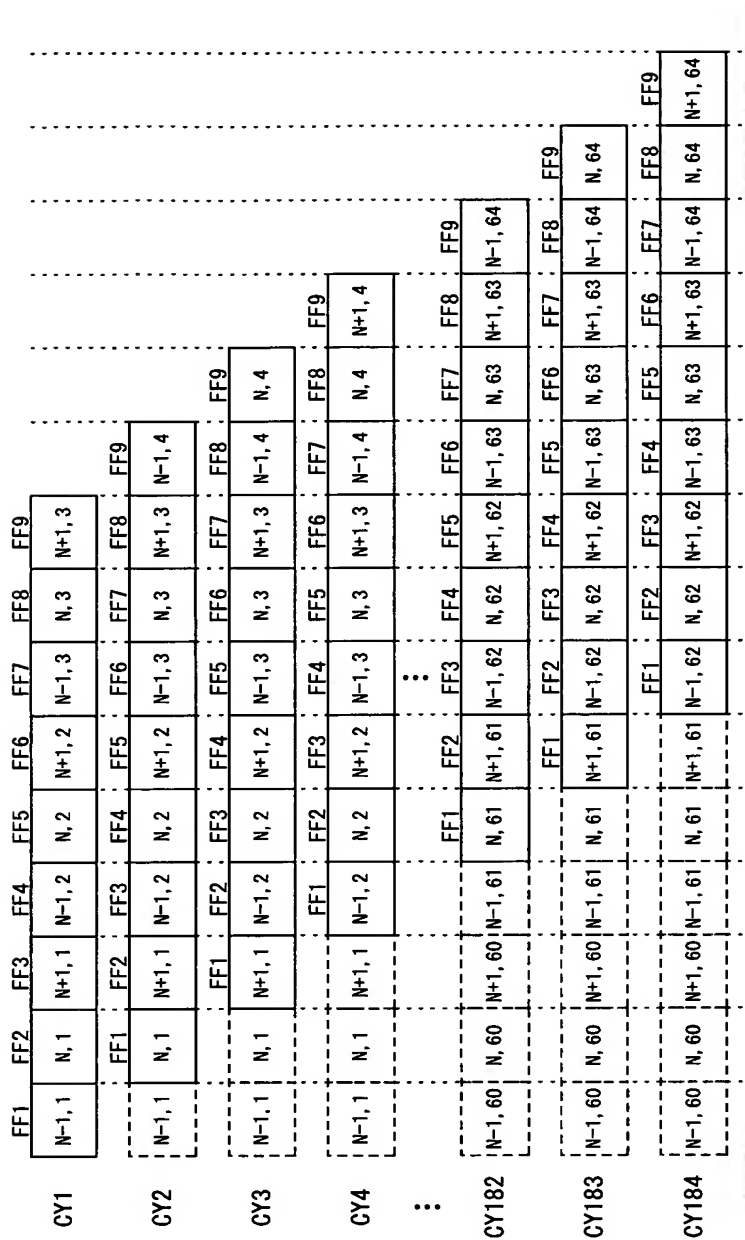


Fig. 21(c)





time →

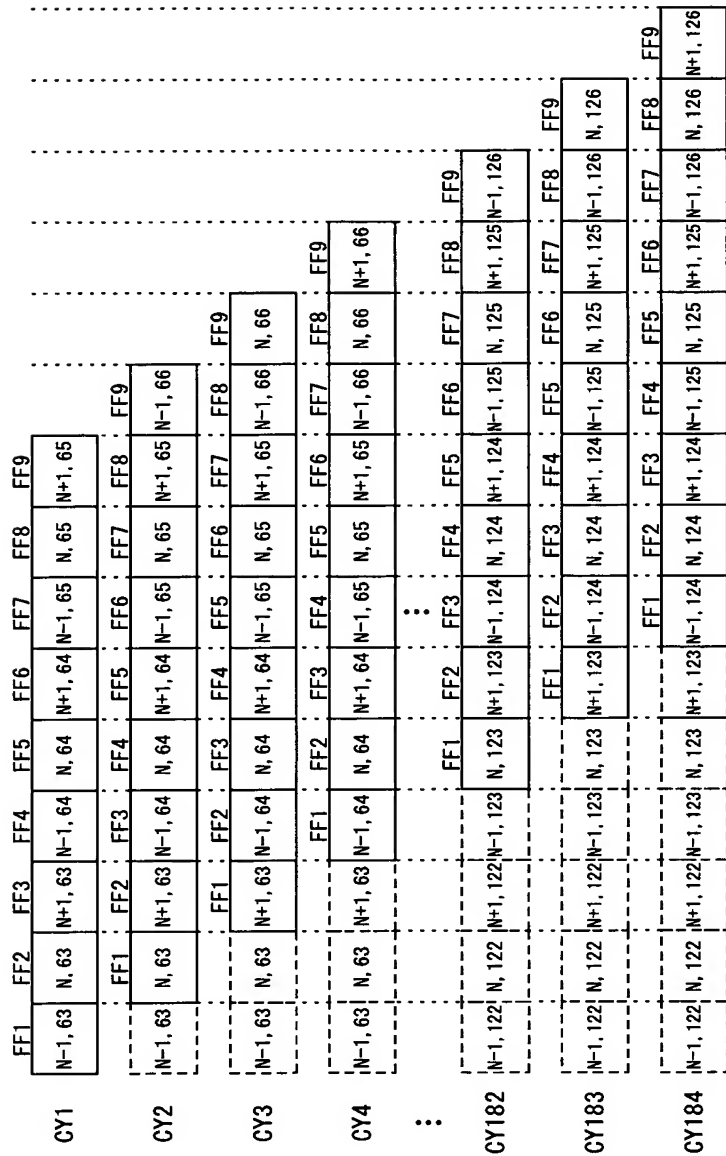


Fig. 23(b) SD

|     |     |     |    |    |
|-----|-----|-----|----|----|
| 113 | 112 | ... | 52 | 51 |
|-----|-----|-----|----|----|

Fig. 23(c) D#

|       |        |        |     |         |        |
|-------|--------|--------|-----|---------|--------|
| N, 63 | FN, 64 | FN, 65 | ... | FN, 125 | N, 126 |
|-------|--------|--------|-----|---------|--------|

Fig. 23(d) SE

|  |  |  |     |  |  |
|--|--|--|-----|--|--|
|  |  |  | ... |  |  |
|--|--|--|-----|--|--|

Fig. 23(e) D\$

|       |        |        |     |         |        |
|-------|--------|--------|-----|---------|--------|
| N, 63 | FN, 64 | FN, 65 | ... | FN, 125 | N, 126 |
|-------|--------|--------|-----|---------|--------|

Fig. 23(f) SW

|  |  |  |     |  |  |
|--|--|--|-----|--|--|
|  |  |  | ... |  |  |
|--|--|--|-----|--|--|

time →





Fig. 25

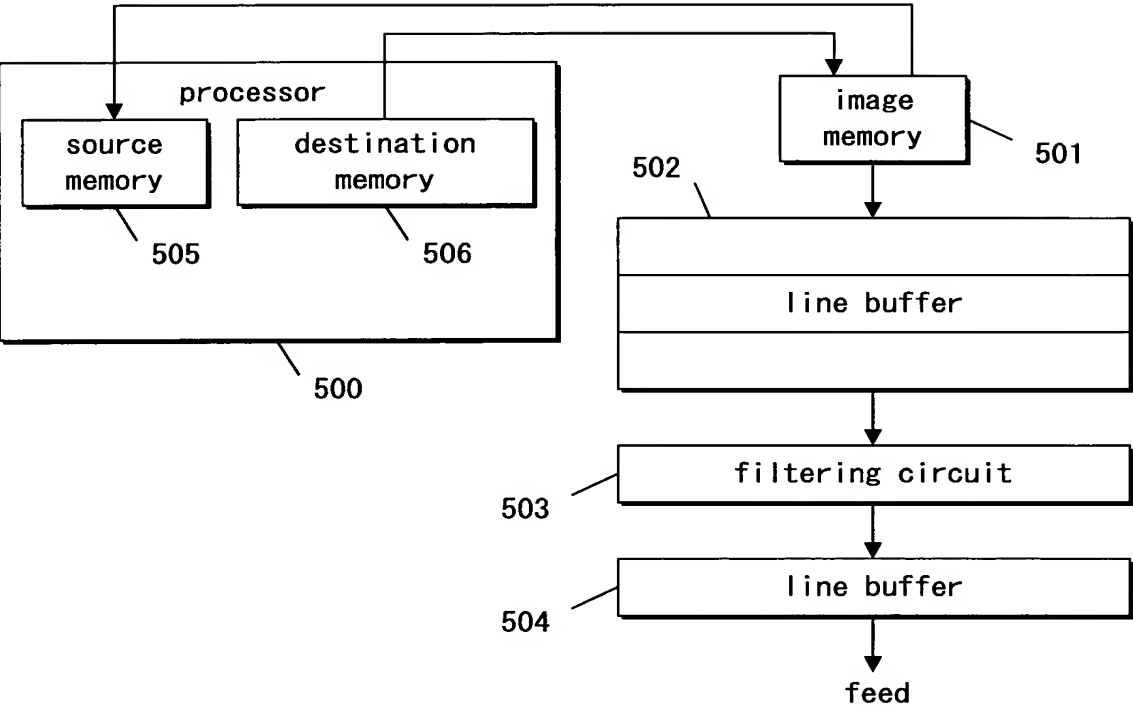


Fig. 26

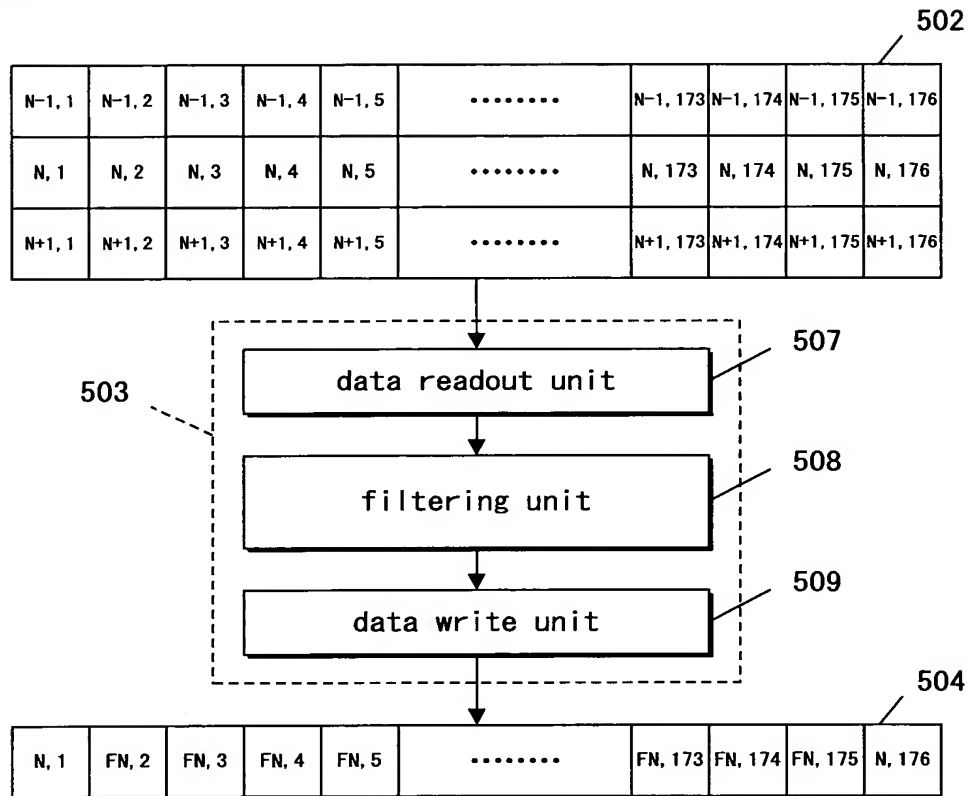


Fig. 27

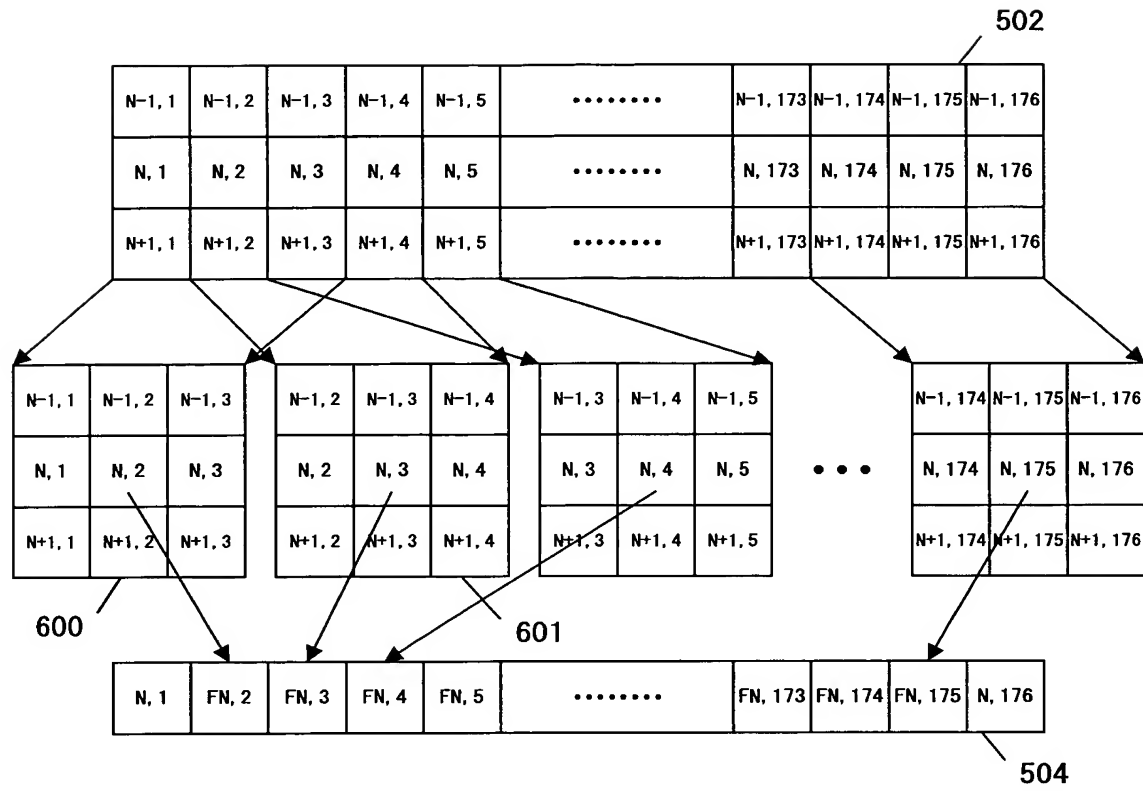


Fig. 28

